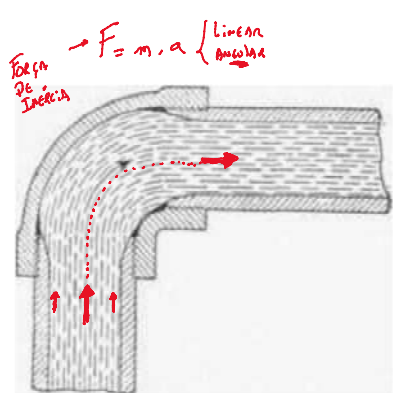
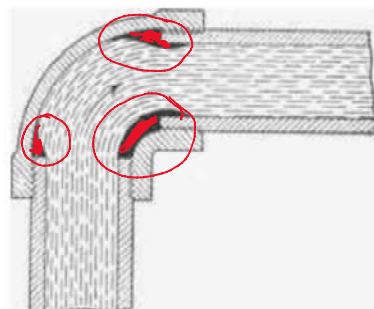
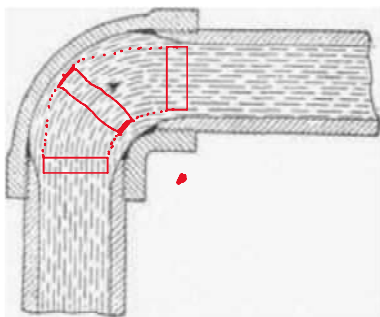


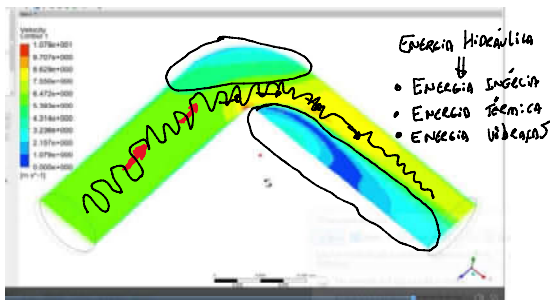
Aula - 09: Perda de Carga Localizada $h_f \text{ Loc}$

Perdas de Carga Localizada em Sistemas de Tubulações



Como explicar a perda de carga localizada em conexões e acessórios ?





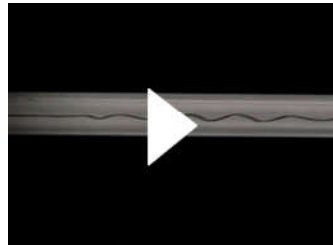
[Reynolds Apparatus \(Vertical Mode\)](#)

mechmatics



[Laminar flow, Turbulent flow by Reynolds Experiment](#)

Civil Engineering Theory And Practice



Número de Reynolds: $Re = \frac{V \times D}{\nu}$

V – velocidade de escoamento, m/s
 D – diâmetro do conduto, m
 ν – viscosidade cinemática do líquido, m²/s

Tipo de escoamento:

Escoamento laminar: $Re \leq 2000$

Transição:

$$2000 < Re \leq 4000$$

2000 - 4000

Escoamento turbulento: $Re > 4000$

[Wikipedia](#)

A significância fundamental do número de Reynolds é que o mesmo permite avaliar o tipo do escoamento (a estabilidade do fluxo) e pode indicar se fluido de forma laminar ou turbulenta. Para o caso de um fluxo de água num tubo cilíndrico, admite-se os valores de 2.000 e 2.400 como limites. Desta forma, para valores menores que 2.000 o fluxo será laminar, e para valores maiores que 2.400 o fluxo será turbulento. E para valores entre eles o fluxo será transitório.

$Número\ de\ Reynolds \Rightarrow NR = \frac{\text{Forças\ De\ Inércia}}{\text{Forças\ De\ Viscosidade}}$

F = m.a

$$\text{Número de Reynolds} \Rightarrow NR = \frac{\text{Forças de Inércia}}{\text{Forças de Viscosidade}} \quad \tau = m.a$$

$$NR = \frac{\text{massa} \cdot \text{aceleradas}}{\mu \cdot A \cdot \frac{\Delta V}{\Delta y}} = \frac{\rho \cdot L^3 \cdot L^2 \cdot T^{-2}}{\mu \cdot L^2 \cdot L \cdot T^{-1} \cdot L^2}$$

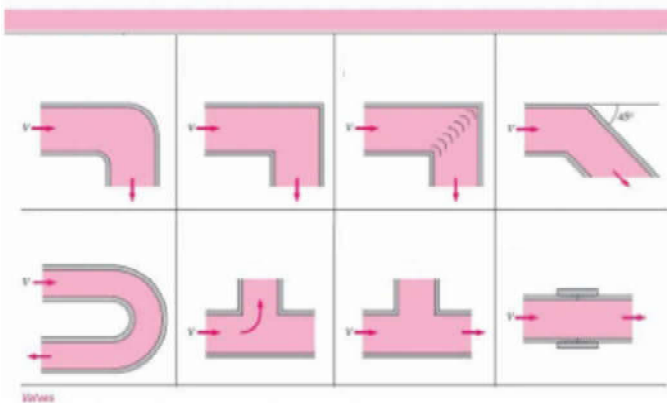
$$NR = \frac{\rho \cdot L^2 \cdot T^{-1}}{\mu} = \frac{L^2 \cdot T^{-1}}{\mu/\rho} = \frac{L \cdot T^{-1} \cdot L}{\nu} = \frac{V \cdot D}{\nu}$$

$$NR = \frac{\text{Forças de Inércia}}{\text{Forças de Viscosidade}} \Rightarrow \text{Ex: } NR = 4000$$

$$\text{Forças de Inércia} = 4.000 \cdot \text{Forças de Viscosidade}$$

\downarrow 

$h_f \text{ localizado}$

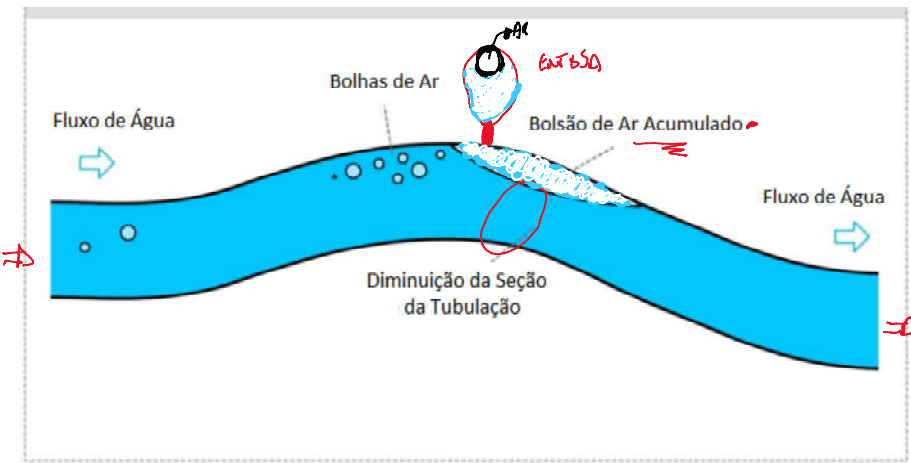


Relevância da Perda de Carga Localizada em Sistemas de Irrigação

① Bifurcações • \Rightarrow "valores 100 - 6.000 metros"
 Comprimento
 $h_f \text{ tubo} \Rightarrow 95 - 98\%$ •
 $h_f \text{ loc} \Rightarrow 5 - 2\%$ •

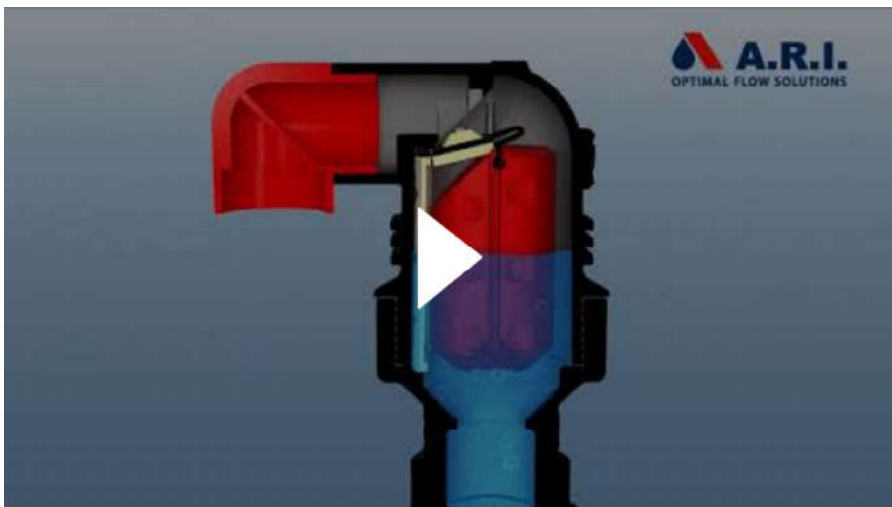
② Irregularidades localizadas \Rightarrow • tubo pequeno's
 Geometria
 • Georreguladores dentro do tubo
 \hookrightarrow espessuras 0,60 a 0,20cm
 • linha lateral $\Rightarrow h_f \text{ tubo} \Rightarrow 25 - 35\%$
 $h_f \text{ localizado} \Rightarrow 75 - 65\%$





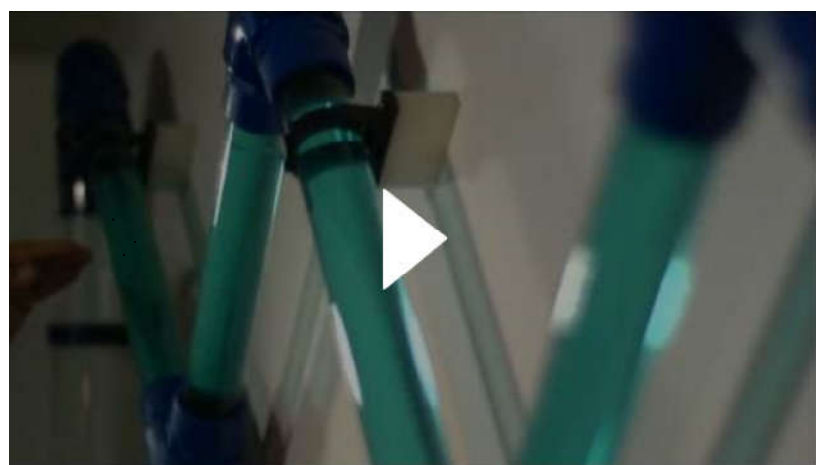
HOW DOES THE AIR VALVE WORK A R I D _ 040

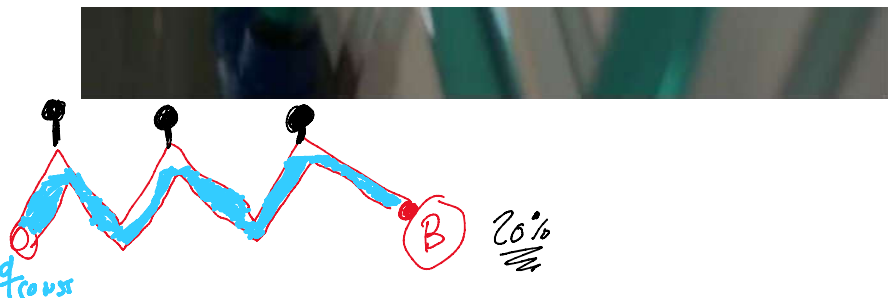
A.R.I. Optimal Flow Solutions



Promotional Films - A.R.I. Saving Energy Using Air Valves

פאוזה בית הפקות - Pausa Production House





Como calcular a Perda de Carga Localizada ?

Cálculo de hf_L

1) Método dos Coeficientes (K)

- Cada peça tem um coeficiente K

$$hf_l = K \frac{V^2}{2g}$$

Velocidade
 Média no
 tubo

- Coeficientes tabelados

PEÇA	K
Curva de raio longo	0,25 a 0,40
Curva de raio curto	0,90 a 1,50
Curva 45°	0,20
Registro de gaveta aberto	0,20
Registro globo aberto	10,00
T passagem direta	0,60
T saída lateral	1,30
T saída bilateral	1,80
Válvula de retenção	2,50
Válvula de pé	1,75
Medidor Venturi	2,50

— curva de raio longo	$K = 0,25 \text{ a } 0,40$
— curva de raio curto (cotovelo)	$K = 0,90 \text{ a } 1,5$
— curva de 45°	$K = 0,20$
— cotovelo de 45°	$K = 0,40$
— curva de 22°30'	$K = 0,10$
— crivo	$K = 0,75$
— alargamento gradual	$K = 0,30$
— redução gradual	$K = 0,15$
— registro de gaveta aberto	$K = 0,20$
— registro de globo aberto	$K = 10,00$
— registro de ângulo aberto	$K = 5,00$
— junção	$K = 0,40$
— tê. passagem direta	$K = 0,60$
— tê. saída lateral	$K = 1,30$
— tê. saída bilateral	$K = 1,80$
— válvula de retenção	$K = 2,50$
— válvula de pé	$K = 1,75$
— CURVA DE RETORNO: $K=2,20$	
— BOCAIS: $K=2,75$	
— MEDIADOR VENTURI: $K=2,50$	
(V DA TUBULAÇÃO)	
— PEQUENA DERIVAÇÃO	$K = 0,03$
— COMPORTA ABERTA	$K = 1,00$

Perda de carga na entrada e saída do encanamento.

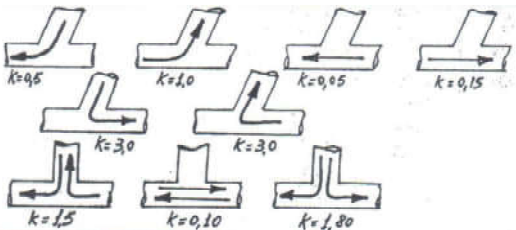
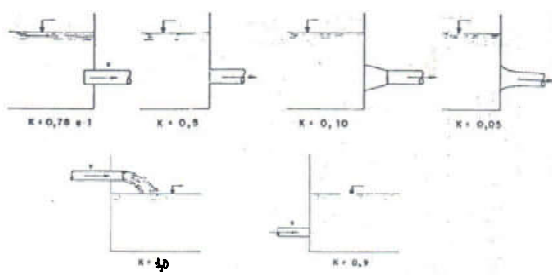


Diagram of a valve showing flow velocity profiles (V_I and V_{Input}) and the relationship between them:

$$V_I = V_{Input} \cdot \frac{d}{D}$$

Tipos de Peças	Valores de K																																																													
	$H_{loc} = K \cdot \frac{V^2}{2g}$																																																													
Registro de Gaveta	$H_{loc} = K \cdot \frac{V^2}{2g}$ d/D <table border="1"> <thead> <tr> <th>D</th> <th>mm</th> <th>in</th> <th>1/8</th> <th>1/4</th> <th>3/8</th> <th>1/2</th> <th>5/8</th> <th>1</th> </tr> </thead> <tbody> <tr> <td>50</td> <td>2</td> <td>140</td> <td>20</td> <td>6,5</td> <td>3,0</td> <td>0,68</td> <td>0,16</td> <td></td> </tr> <tr> <td>100</td> <td>4</td> <td>91</td> <td>16</td> <td>5,6</td> <td>2,6</td> <td>0,55</td> <td>0,14</td> <td></td> </tr> <tr> <td>150</td> <td>6</td> <td>74</td> <td>14</td> <td>5,3</td> <td>2,4</td> <td>0,49</td> <td>0,12</td> <td></td> </tr> <tr> <td>200</td> <td>8</td> <td>66</td> <td>13</td> <td>5,2</td> <td>2,3</td> <td>0,47</td> <td>0,10</td> <td></td> </tr> <tr> <td>300</td> <td>12</td> <td>56</td> <td>12</td> <td>5,1</td> <td>2,2</td> <td>0,47</td> <td>0,07</td> <td></td> </tr> </tbody> </table>								D	mm	in	1/8	1/4	3/8	1/2	5/8	1	50	2	140	20	6,5	3,0	0,68	0,16		100	4	91	16	5,6	2,6	0,55	0,14		150	6	74	14	5,3	2,4	0,49	0,12		200	8	66	13	5,2	2,3	0,47	0,10		300	12	56	12	5,1	2,2	0,47	0,07	
D	mm	in	1/8	1/4	3/8	1/2	5/8	1																																																						
50	2	140	20	6,5	3,0	0,68	0,16																																																							
100	4	91	16	5,6	2,6	0,55	0,14																																																							
150	6	74	14	5,3	2,4	0,49	0,12																																																							
200	8	66	13	5,2	2,3	0,47	0,10																																																							
300	12	56	12	5,1	2,2	0,47	0,07																																																							
Registro Borboleta	ϕ 5° 10° 20° 30° 40° 50° 60° 70° K 0,24 0,52 1,54 3,91 10,8 32,6 118 751																																																													

2) Método dos Comprimentos Equivalentes

- Acréscimo de comprimento à tubulação

devido a cada peça

- L: Comprimento da tubulação
- Le: Comprimento equivalente às peças
- Comprimento total: $L_T = L + Le$

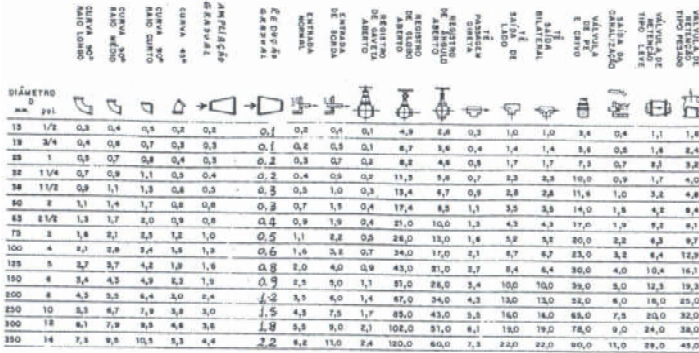
$$hf = K \cdot \frac{L_T}{D^n} \cdot V^m$$

Total
Comprimento Total
Comprimento Viscos

Figura 2: Perdas de carga localizadas – equivalência em metros de tubulação de PVC rígido ou cobre

Dâmetro nominal		Joelho 90°	Joelho 45°	Curva 90°	Curva 45°	Té 90° Passagem direta	Té 90° Saída de lado	Té 90° Salida lateral	Entrada normal	Entrada de borda	Saída canalizada	Válvula e crivo	Válvula retenção	Registro globo aberto	Registro gaveta aberto	Registro ângulo aberto
DN (mm)	Ref. (pnf.)															
15 (1/2)	1,1	0,4	0,4	0,2	0,7	2,3	2,3	0,3	0,9	0,8	8,1	2,5	3,6	11,1	0,1	5,9
20 (3/4)	1,2	0,5	0,5	0,3	0,8	2,4	2,4	0,4	1,0	0,9	9,5	2,7	4,1	11,4	0,2	6,1
25 (1)	1,5	0,7	0,6	0,4	0,9	3,1	3,1	0,5	1,2	1,3	13,3	3,8	5,8	15,0	0,3	8,4
32 (1 1/4)	2,0	1,0	0,7	0,5	1,5	4,6	4,6	0,6	1,8	1,4	15,5	4,9	7,4	22,0	0,4	10,5
40 (1 1/2)	3,2	1,3	1,2	0,6	2,2	7,3	7,3	1,0	2,3	3,2	18,3	6,8	9,1	35,8	0,7	17,0
50 (2)	3,4	1,5	1,3	0,7	2,3	7,6	7,6	1,5	2,8	3,3	23,7	7,1	10,8	37,9	0,8	18,5
60 (2 1/2)	3,7	1,7	1,4	0,8	2,4	7,8	7,8	1,6	3,3	3,5	25,0*	8,2	12,5	38,0	0,9	19,0
75 (3)	3,9	1,8	1,5	0,9	2,5	8,0	8,0	2,0	3,7	3,7	26,8	9,3	14,5	40,0	0,9	20,0
100 (4)	4,3	1,9	1,6	1,0	2,6	8,3	8,3	2,2	4,0	3,9	28,6	10,4	16,0	42,3	1,0	22,1
125 (5)	4,9	2,4	1,9	1,1	3,3	10,0	10,0	2,5	5,0	4,9	37,4	12,5	19,2	50,9	1,1	26,2
150 (6)	5,4	2,6	2,1	1,2	3,8	11,1	11,1	2,8	5,6	5,5	43,4	13,9	21,4	56,7	1,2	28,6

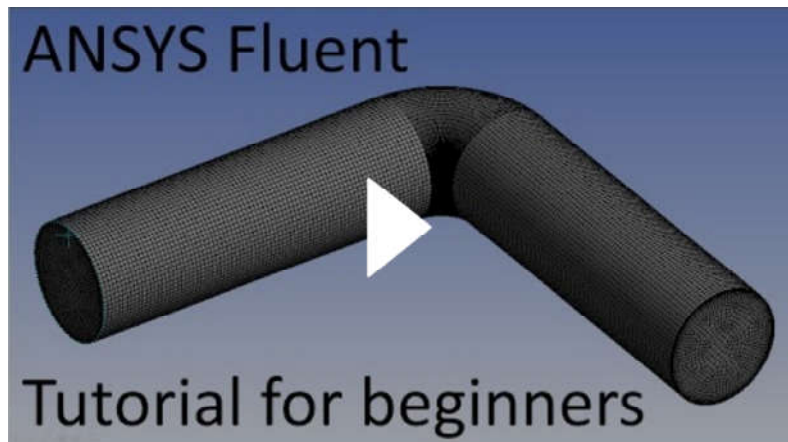
PERDAS DE CARGA LOCALIZADAS, EM METROS DE CANALIZAÇÃO RETILÍNEA EQUIVALENTE
(Fórmula de ASCE)



3) Método de Simulação Numérica / Elementos Finitos Computer Fluid Dynamics (CFD)

[ANSYS Fluent Tutorial 1 | Calculation of losses in the pipeline](#)

Evgeniy Ivanov



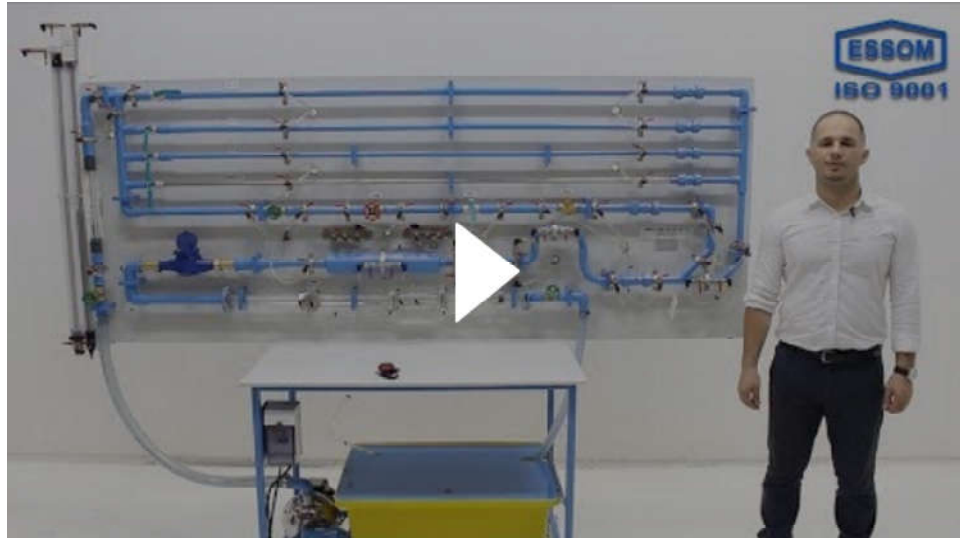
[Fluid Mechanics Lab # 3 - Head Loss in Fittings](#)

Habib Ahmari, PhD, PE



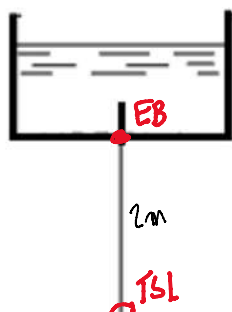
[HF135 PIPING LOSS TEST SET, Large](#)

ESSOM COMPANY THAILAND



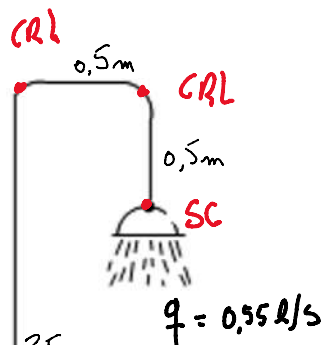
EXERCICIOS - PERDAS DE CARGA LOCALIZADAS

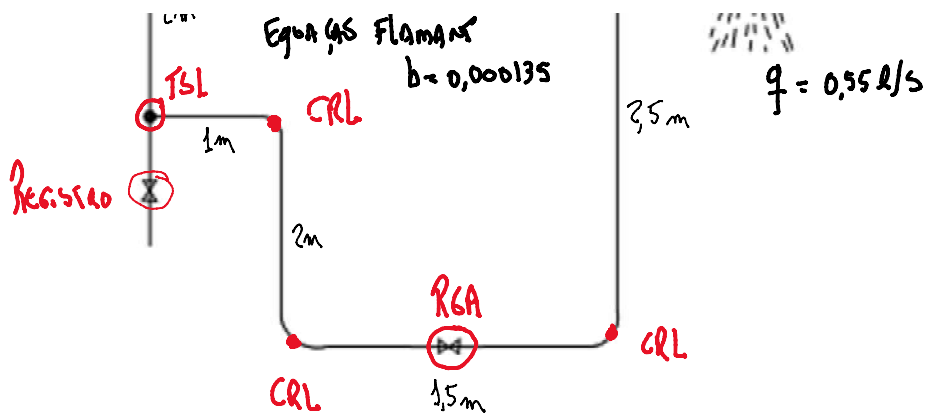
$$\text{Tubo PVC} \Rightarrow \mathcal{D} = 3/4'' = 19 \text{ mm}$$



- 1 - Entrada de Borda (EB)
- 1 - Té de saída de lado (TSL)
- 5 - Curvas 90 Raio Longo (CRL)
- 1 - Registro de Gaveta Aberto (RGA)
- 1 - Saída de Canalização (SC)

Equa GS FLAMAN
n=1 b= 0,000135

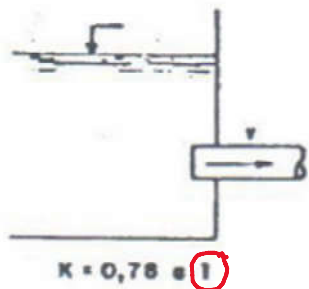




- Calcular h_f total da tubulação
 - Método - K
 - Método - L equivalente

(a) Método K

$$h_{f,loc} = K \cdot \frac{V^2}{2g}$$



PEÇA	K
Curva de raio longo	0,25 a 0,40
Curva de raio curto	0,90 a 1,50
Curva 45°	0,20
Registro de gaveta aberto	0,20
Registro globo aberto	10,00
T passagem direta	0,60
T saída lateral	1,30
T saída bilateral	1,80
Válvula de retenção	2,50
Válvula de pé	1,75
Medidor Venturi	2,50

$$\frac{V^2}{2g} = 0,192 \text{ m}$$

$$\text{Velocidade} \Rightarrow \frac{Q}{\text{Área}} = \frac{0,00055 \text{ m}^3/\text{s}}{\pi \cdot 0,019^2} = 1,94 \text{ m/s}$$

	<u>K</u>	<u>$K \cdot \frac{V^2}{2g}$</u>	<u>$h_{f,loc}$</u>
1 EB	1,0	0,192	0,192
1 TSL	1,3	0,249	0,249
5 CRL	0,3	5 x 0,0576	0,288
1 RGA	0,2	0,0384	0,0384
1 SC	1,0	0,192	$\frac{0,192}{\leq 0,96 \text{ m CG}} \Leftrightarrow h_{f,loc - 10\%}$

$$h_f = \sum h_i = L \cdot L_{tot} \cdot 1_m \cdot b \cdot \frac{1,92}{1,92 - 0,96} = 1,35$$

$$h_f_{Tubo} \rightarrow \text{Flamant} \Rightarrow h_f = \frac{6,107 \cdot L_m \cdot b \cdot Q \text{ m}^3/\text{s}}{D_m^{4,76}} \quad 1,35$$

$$h_f = \frac{6,107 \cdot 10m \cdot 0,600135 \cdot 0,00055}{0,019^{4,76}} = 2,54 \text{ m.}$$

• $h_f_{\text{Total no sistema}} = h_f_{\text{Tubo}} + h_f_{\text{loc}} = 2,54 + 0,96 = 3,5 \text{ m.s.a.}$

(b) Método dos Comprimentos Equivalentes

Figura 2: Perdas de carga localizadas – equivalência em metros de tubulação de PVC rígido ou cobre

Diâmetro nominal (DN) (mm)	Ref. (pol.)	Válvula retenção														
		Joelho 90°	Joelho 45°	Curva 90°	Curva 45°	Té 90° Passagem direta	Té 90° Saída de lado	Té 90° Saída bilateral	Entrada normal	Entrada de borda	Saída de canaliz.	Válvula de pé e crivo	Tipo leve	Tipo pesado	Registro globo aberto	Registro gaveta aberto
15 (1/2)	1,1	0,4	0,4	0,2	0,7	2,3	2,3	0,3	0,9	0,8	8,1	2,5	3,6	11,1	0,1	5,9
20 (3/4)	1,2	0,5	0,5	0,3	0,8	2,4	2,4	0,4	1,0	0,9	9,5	2,7	4,1	11,4	0,2	6,1
25 (1)	1,5	0,7	0,6	0,4	0,9	3,1	3,1	0,5	1,2	1,3	13,3	3,8	5,8	15,0	0,3	8,4
32 (1 1/4)	2,0	1,0	0,7	0,5	1,5	4,6	4,6	0,6	1,8	1,4	15,5	4,9	7,4	22,0	0,4	10,5
40 (1 1/2)	3,2	1,3	1,2	0,6	2,2	7,3	7,3	1,0	2,3	3,2	18,3	6,8	9,1	35,8	0,7	17,0
50 (2)	3,4	1,5	1,3	0,7	2,3	7,6	7,6	1,5	2,8	3,3	23,7	7,1	10,8	37,9	0,8	18,5
60 (2 1/2)	3,7	1,7	1,4	0,8	2,4	7,8	7,8	1,6	3,3	3,5	25,0	8,2	12,5	38,0	0,9	19,0
75 (3)	3,9	1,8	1,5	0,9	2,5	8,0	8,0	2,0	3,7	3,7	26,8	9,3	14,5	40,0	0,9	20,0
100 (4)	4,3	1,9	1,6	1,0	2,6	8,3	8,3	2,2	4,0	3,9	28,6	10,4	16,0	42,3	1,0	22,1
125 (5)	4,9	2,4	1,9	1,1	3,3	10,0	10,0	2,5	5,0	4,9	37,4	12,5	19,2	50,9	1,1	26,2
150 (6)	5,4	2,6	2,1	1,2	3,8	11,1	11,1	2,8	5,6	5,5	43,4	13,9	21,4	56,7	1,2	28,9

Métricos Equivalentes

1 EB 1,0

1 TSL 2,4

5 CRL 0,5 x 5

1 RGA 0,2

1 SC $\frac{0,9}{\leq 2,0 \text{ m.s.a.}}$

$$L_{\text{Total}} = L_{\text{Real}} + L_{\text{Friction}}$$

$$L_{\text{Total}} = 10,0 + 7 = 17,0 \text{ m}$$

$$1 \text{ sc} \quad \frac{0,9}{\leq 7,0 \text{ mequi}}$$

VIRTUAL

$$h_f^{\text{tubo}} \rightarrow \text{Flamant} \Rightarrow h_f = \frac{6,107 \cdot L_m \cdot b \cdot Q \cdot 1,35}{D_m^{4,76}}$$

$$h_f = \frac{6,107 \cdot 17 \text{ m} \cdot 0,600135 \cdot 0,00055 \cdot 1,35}{0,019^{4,76}} = 4,31 \text{ m.}$$

• $h_f^{\text{TOTAL NO SISTEMA}} = \underline{\underline{4,31 \text{ mG}}} \quad \cancel{\cancel{}}$

$$h_f^{\text{TOTAL}} \begin{cases} \text{Método K} \Rightarrow \underline{\underline{3,5 \text{ mG}}} \\ \text{Método Comprimidos} \Rightarrow \underline{\underline{4,31 \text{ mG}}} \\ \text{Equiválentes} \end{cases}$$